

Original Paper

Characteristics of hepatocyte rough endoplasmic reticulum single cationic channel in Streptozocin- induced diabetic Rats

Ashrafpour M (PhD)^{*1}, Sepehri H (PhD)², Eliassi A (PhD)³
Saghiri R (PhD)⁴, Fahanik Babaei J (MSc)⁵

¹Assistant Professor, Department of Physiology and Pharmacology, Cellular and Molecular Research Center, Babol University of Medical Sciences, Babol, Iran. ²Assistant Professor, Department of Physiology, Neuroscience Research Center, Golestan University of Medical Sciences, Gorgan, Iran. ³Assistant Professor, Neuroscience Research Center and Department of Physiology, Shahid Beheshti University of Medical Sciences, Tehran, Iran. ⁴Assistant Professor, Department of Biochemistry, Pasteur Institute, Tehran, Iran. ⁵MSc in Biology, Neuroscience Research Center and Department of Physiology, Shahid Beheshti University of Medical Sciences, Tehran, Iran.

Abstract

Background and Objective: The role of ion channels and particularly cationic channels in the pathogenesis of various diseases are being considered carefully. The diabetes mellitus is a common disease which is initiated by ion channel disturbances. This study was done to determine the characteristics of hepatocyte rough endoplasmic reticulum single cationic channel in Streptozocin- induced diabetic rats.

Materials and Methods: This experimental study was done on 10 male adult Wistar rats and animals were randomly allocated into diabetic and control groups. Diabetes induced by STZ (65 mg/kg/bw) intraperitoneally. Rough endoplasmic reticulum vesicles were extracted following rat liver excision, homogenization and ultracentrifuging. The bilayer membrane formation was prepared by painting phosphatidylcholine on 250 μ M aperture in between Cis and Trans sides. The RER vesicles incorporation was performed through gentle and delicate touch of membrane using a dentistry needle. The Pclamp9 software was used for ion channel activity characteristic analysis.

Results: The cationic channel current amplitude did not change significantly in voltages more than +30 mV but their open probability (Po) decreased in diabetic group ($P<0.05$). More severe changes in channel activity were seen in potentials less than the reverse potential. In addition to significant increase of channel Po ($P<0.05$), also, the channel unitary currents were significantly decreased ($P<0.05$). The mean current amplitude and channel open probability in voltage +40 mV were 17 ± 2.14 pA and 0.68 ± 0.01 in control group respectively, whereas, the values of these parameters reached to 18.5 ± 2.5 and 0.26 ± 0.03 , respectively. In voltage -10 mV, the values of mean current amplitude and Po were -22.3 ± 2.14 pA and <0.1 in control group, respectively but the values changed to -13.1 ± 0.08 and 0.62 ± 0.03 in diabetic group.

Conclusion: It seems that RER cationic channel is involved in metabolic changes which cause by diabetes mellitus and this disease can cause probably a channel gating kinetic and behavior change by inducing metabolic stresses.

Keywords: Endoplasmic Reticulum, Cationic Channel, Single Channel Recording, Bilayer Lipid Membrane, Diabetes mellitus

*** Corresponding Author:** Ashrafpour M (PhD), E-mail: mn rashrafpour@yahoo.com

Received 10 January 2011

Revised 23 April 2011

Accepted 26 April 2011

تحقیقی

ویژگی‌های فعالیت تک کانال کاتیونی شبکه آندوپلاسمی هپاتوسیت موش‌های صحرایی دیابتی شده با استرپتوزوسین

دکتر منوچهر اشرف پور^{*}، دکتر حمید سیهری^آ، دکتر افسانه الیاسی^آ، دکتر رضا صفری^آ، جواد فحانیک بابایی^۵

۱- استادیار گروه فیزیولوژی و فارماکولوژی ، مرکز تحقیقات سلولی و مولکولی ، دانشگاه علوم پزشکی بابل. ۲- استادیار گروه فیزیولوژی ، مرکز تحقیقات علوم اعصاب ، دانشگاه علوم پزشکی گلستان. ۳- استاد گروه فیزیولوژی ، مرکز تحقیقات علوم اعصاب ، دانشگاه علوم پزشکی شهید بهشتی. ۴- استادیار گروه بیوشیمی ، استیتو پاستور ایران. ۵- کارشناس ارشد ، گروه فیزیولوژی ، مرکز تحقیقات علوم اعصاب ، دانشگاه علوم پزشکی شهید بهشتی.

چکیده

زمینه و هدف: نقش کانال‌های یونی به طور فزاینده‌ای در پاتوژن‌بیماری‌ها مورد توجه قرار گرفته است و در این میان کانال‌های کاتیونی اهمیت ویژه‌ای دارند. دیابت ملیتوس بیماری شایعی است که ایجاد آن را به اختلال عملکرد کانال‌های یونی نسبت داده‌اند؛ ولی مشخص نیست که در دیابت چه تغییری در کانال‌های یونی ارگانل‌های داخل سلولی اتفاق می‌افتد. این مطالعه به منظور ارزیابی ویژگی‌های فعالیت تک کانال کاتیونی شبکه آندوپلاسمی هپاتوسیت موش‌های صحرایی دیابتی شده با استرپتوزوسین انجام شد.

روش بررسی: این مطالعه از موش‌های صحرایی نر نژاد ویستار با وزن تقریبی 190 ± 10 گرم در دو گروه کنترل و دیابتی انجام شد. موش‌ها با تزریق یک دوز 15 mg/kg استرپتوزوسین (STZ) داخل صفاقی دیابتی شدند. استخراج وزیکول‌های شبکه آندوپلاسمی از طریق خارج کردن کبد موش صحرایی و هموژئن نمودن آن و سپس با انجام مراحل مختلف اوتراسانتریفیوژ صورت گرفت. غشاء دوالیه لیپیدی با استفاده از فسفاتیدیل کولین و بر روی منفذی به قطر $250 \text{ }\mu\text{m}$ میکرومتر که بین دو محفظه *trans* و *cis* قرار داشت؛ تشکیل شد. العاق وزیکول‌های *RER* در *BLM* با سوزن دندانیزشکی و با لمس ملایم و ظرفی غشاء انجام گرفت. برای تجزیه و تحلیل برخی از ویژگی‌های الکتروفیزیولوژیک فعالیت کانال از نرم افزار *PClamp9* و آزمون آماری منویتنی استفاده گردید.

یافته‌ها: در گروه دیابتی دامنه جریانات عبوری از کانال در ولتاژهای بالاتر از $+30$ میلی‌ولت در مقایسه با گروه کنترل تغییر آماری معنی‌داری پیدا نکرد؛ اما احتمال بازیودن کانال (*Po*) در این گروه به طور قابل توجهی کاهش یافت ($P < 0.05$). تغییر شدیدتر فعالیت کانال مورد مطالعه در ولتاژهای پایین‌تر از پتانسیل معکوس دیده شد و علاوه بر افزایش آماری معنی‌دار *Po* کانال ($P < 0.05$)، دامنه جریان کانال نیز به طور معنی‌داری کاهش نشان داد ($P < 0.05$). میانگین دامنه جریان و احتمال باز بودن کانال در ولتاژ $+40$ میلی‌ولت در گروه کنترل بهترتب $17 \pm 2/14$ پیکوآمپر و $0/68 \pm 0/01$ که در گروه دیابتی به $2/5 \pm 0/18$ و ($P < 0.05$) رسید؛ ولی در ولتاژ -10 میلی‌ولت متوسط دامنه جریان و *Po* کانال در گروه کنترل بهترتب $2/14 \pm 2/22$ پیکوآمپر و $0/01$ بود که در گروه دیابتی این مقادیر $-13/1 \pm 0/08$ و $0/62 \pm 0/03$ تعیین شد.

نتیجه‌گیری: بهنظر می‌رسد که کانال کاتیونی *RER* در تغییرات متابولیکی ناشی از دیابت قللی دچار تغییرات می‌شود و احتمالاً دیابت از طریق ایجاد استرس‌های متابولیسمی سبب تغییر رفتار و نحوه باز و بسته شدن کانال کاتیونی *RER* می‌گردد.

کلید واژه‌ها: شبکه آندوپلاسمی، کانال کاتیونی، ثبت از تک کانال، غشا دوالیه لیپیدی، دیابت ملیتوس

* نویسنده مسئول: دکتر منوچهر اشرف پور، پست الکترونیکی mn rashrafpour@yahoo.com

نشانی: بابل، دانشگاه علوم پزشکی بابل، دانشکده پزشکی، گروه فیزیولوژی و فارماکولوژی، تلفن ۰۱۱۱-۵۲۲۹۵۹۱-۰۲۲۹۹۳۶، نماير ۰۲/۶، ۰۹/۲/۳، اصلاح نهایی: ۰۹/۰۲/۰۰، پذیرش مقاله: ۰۹/۰۲/۰۰

مقدمه

Rough Endoplasmic Reticulum (RER) هپاتوسیت‌های موش صحرایی گزارش شدند (۱۶ و ۱۷). مدل دیابت ناشی از استرپتوزوسین اطلاعات زیادی از تغییرات فعالیت کانال‌های یونی به‌ویژه توسط دیابت به دست می‌دهد (۱۸). این مطالعه به منظور تعیین فعالیت کانال کاتیونی RER هپاتوسیت موش‌های صحرایی دیابتی شده با استرپتوزوسین انجام شد.

روش بورسی

این مطالعه تجربی با استفاده از موش‌های صحرایی نر نژاد ویستار با وزن تقریبی ۱۹۰ ± ۱۰ گرم در مرکز تحقیقات علوم اعصاب دانشگاه علوم پزشکی شهید بهشتی در سال ۱۳۸۸ انجام شد. موش‌ها در دو گروه کنترل و دیابتی قرار گرفتند. موش‌ها از مرکز نگهداری و پرورش حیوانات آزمایشگاهی استیتو پاستور ایران تهیه شدند. حیوانات در شرایط محیطی مناسب ($۲۲\pm ۵^{\circ}\text{C}$) و ۱۲ ساعت روشناختی - تاریکی نگهداری شدند و ۲۴ ساعت قبل از خارج کردن کبد، ناشتا بودند. استانداردها و موازین اخلاقی مربوط به مراقبت و کار با حیوانات آزمایشگاهی رعایت گردید.

ایجاد دیابت

برای این منظور به موش‌های با وزن حدود ۱۸۰ گرم یک دوز 65 mg/kg استرپتوزوسین داخل صفاقی تزریق گردید (۲۱). سپس یک هفته بعد از تزریق و با حصول اطمینان از ایجاد دیابت از طریق اندازه گیری قندخون، موش‌ها برای استخراج شبکه آندوپلاسمی مورد استفاده قرار گرفتند. قندخون ناشتا بالای ۲۰۰ میلی گرم بر دسی لیتر خون مبنای دیابتی شدن حیوان در نظر گرفته شد (۲۱). موش‌های گروه دیابتی علاوه بر قندخون بالا علائم و شواهد تبییک دیابت مانند پلی اوری، پرنوشی و کاهش وزن را نیز نشان دادند.

استخراج لبید

L-آلfa-فسفاتیدیل کولین (L-لستین) با استفاده از پروتکل Singleton از زرده تخم مرغ تازه استخراج گردید (۱۹). KCl، Tris، HEPES و سوکروز از شرکت سیگما و n-decane از شرکت مرک خریداری شدند. از آب مقطّر دیونیزه برای آماده کردن کلیه محلول‌ها استفاده شد.

کانال‌های پتاسیمی گروه متنوعی از کانال‌های یونی هستند که در کنترل طیفی از اعمال فیزیولوژیکی نظر پاسخ‌های سلولی به استرس‌های متابولیکی مشارکت دارند (۲۰ و ۲۱). اختلالات کانال‌های یونی با پاتوتئنز انواعی از بیماری‌ها از جمله دیابت ملیتوس (۳ و ۴) مرتبط هستند. مطالعات مختلف نشان داده‌اند که جریانات یونی عبوری از کانال‌های یونی در دیابت تغییر می‌یابند (۵ و ۷). علاوه بر تاثیر اختلالات کانال‌های یونی بر ایجاد دیابت، مطالعات الکتروفیزیولوژیک نشان داده‌اند که جریانات یونی به‌ویژه جریانات کانال‌های پتاسیمی به‌طور قابل توجهی تحت تاثیر فرآیند پاتوفیزیولوژیک دیابت ملیتوس قرار می‌گیرند (۶ و ۹). اختلال عملی کانال‌های پتاسیمی ولتاژی و کانال KCa و نیز کانال پتاسیمی حساس به ATP در دیابت گزارش شده است (۱۱ و ۳۰).

نتایج مطالعات نشان داده‌اند که عمل ارگانل‌ها در دیابت کاهش می‌یابد (۲). نوعی ارتباط میان عملکرد ارگانل‌ها و دیابت وجود دارد و نقایص ارگانل‌هایی مانند ER (۱۲ و ۱۳)، خطر ایجاد دیابت ملیتوس را افزایش می‌دهد. براساس مطالعه Israelson و Shoshan-Barmatz میتوکندری رابطه عملی متقابله وجود دارد که ممکن است مسیرهای مهمی برای اعمال سلولی مانند کنترل هومئوستاز کلسیم و ایجاد دیابت باشند (۱۴). شواهد فرایندهای ارائه شده‌اند که بر نقش استرس شبکه آندوپلاسمی در پاتوتئنز دیابت ملیتوس دلالت می‌نمایند و مسیرهای پیام‌رسانی اولیه در گیر در پاتوتئنز دیابت ملیتوس احتمالاً از استرس شبکه آندوپلاسمی، اختلال میتوکندری و تولید گونه‌های اکسیژن واکنشی (ROS) آغاز می‌شوند (۱۲ و ۱۳). ER ارگانل مهمی است که در اعمال متعددی مانند هومئوستاز کلسیم دخالت دارد (۲) و تنظیم کلسیم سلولی عمل شناخته شده مهم است که نقش برجسته‌ای در آپوپتوز سلولی ایفا می‌کند (۱۵). اگرچه تحقیقات زیادی تغییر فعالیت کانال‌های یونی در دیابت را نشان داده‌اند (۱۱ و ۷)، ولی تاثیر دیابت بر جریانات و فعالیت کانال‌های غشاء‌ای داخل سلولی تاکنون مورد مطالعه قرار نگرفته است. در مطالعات قبلی وجود نوعی کانال پتاسیمی با کنداکتانس بالا که توسط نوکلئوتیدها و 4-AP

جريانات تک کanal در ولتاژهای مختلف صورت گرفت. در تجزیه و تحلیل نهایی ثبت‌ها با فیلتر نرم‌افزاری HZ ۴۰۰-۲۰۰ فیلتر شدند. نسبت نفوذپذیری کanal مورد مطالعه برای یون‌های پتاسیم و کلر (P_k/P_{Cl}) با استفاده از معادله گلدمان-هوچکین-کاتز (GHK) محاسبه گردید (۲۱). تجزیه و تحلیل منحنی‌های ثبت فعالیت کanal، با استفاده از نرم‌افزار Pclamp9 شرکت Axon و بعد از فیلتر نرم‌افزاری HZ ۴۰۰-۲۰۰ انجام شد. نتایج به صورت $Mean \pm SD$ بیان گردید.

برای مقایسه تغییرات مقادیر دو گروه کنترل و دیابتی از آزمون آماری غیرپارامتریک Mann-Whitney استفاده شد و مقادیر کمتر از 0.05 معنی‌دار تلقی شدند.

یافته‌ها

در حضور محلول کلرید‌پتاسیم 200 و 50 میلی‌مولار نواحی سیس و ترانس، کanal کاتیونی مورد مطالعه براساس رابطه نرنسن از پتانسیل معکوس معادل $+30$ میلی‌ولت برخوردار بود. مطابق معادله گلدمان-هوچکین-کاتز نسبت نفوذپذیری پتاسیم/کلر (P_k/PCl) $15/1$ بود که معرف نفوذپذیری بالای کanal مورد مطالعه نسبت به پتاسیم می‌باشد. با توجه به پتانسیل معکوس کanal که نزدیک به پتانسیل تعادلی پتاسیم قرار دارد و نیز نسبت نفوذپذیری بالا کanal به پتاسیم می‌توان گفت جریانات یونی ثبت شده در این مطالعه ناشی از جریان پتاسیمی است. در طی تحقیق علاوه بر کanal کاتیونی نوعی کanal کلری نیز به دست آمد که رفتار و مشخصات بیوفیزیکی کاملاً متمایزی از کanal پتاسیمی داشت.

شکل یک منحنی‌های ثبت فعالیت کanal کاتیونی RER در پتانسیل‌های مختلف از -20 تا $+50$ میلی‌ولت را در گروه کنترل (شکل 1A) و گروهی که با STZ دیابتی شده بودند (شکل 1B) نشان می‌دهد. همانطور که در شکل دیده می‌شود؛ پتانسیل معکوس فعالیت کanal در هر دو گروه ولتاژ $+30$ mV بود.

شکل ۲ نمودار ستونی متوسط دامنه جریان و متوسط احتمال بازبودن کanal (Po) را در ولتاژهای مختلف برای دو گروه مورد مطالعه نشان می‌دهد. همان‌طور که در این شکل‌ها دیده می‌شود؛ ویژگی‌های فعالیت کanal کاتیونی RER

RER

برای استخراج ER ابتدا موش‌ها با استفاده از اتر بیهوش شدند و بعد از خارج کردن کبد استخراج میکروزم‌ها با روش Kan و از طریق هموژنیزاسیون و اولتراسانتریفیوژ در مراحل مختلف انجام گرفت (۲۰). وزیکول‌ها در محلول بافر حاوی سوکروز mM 250 و ایمیدازول 3 mM حل شد و در میکروتیوب‌های 10 میکرومتر و در دمای منفی 80 درجه سانتی گراد نگهداری شد.

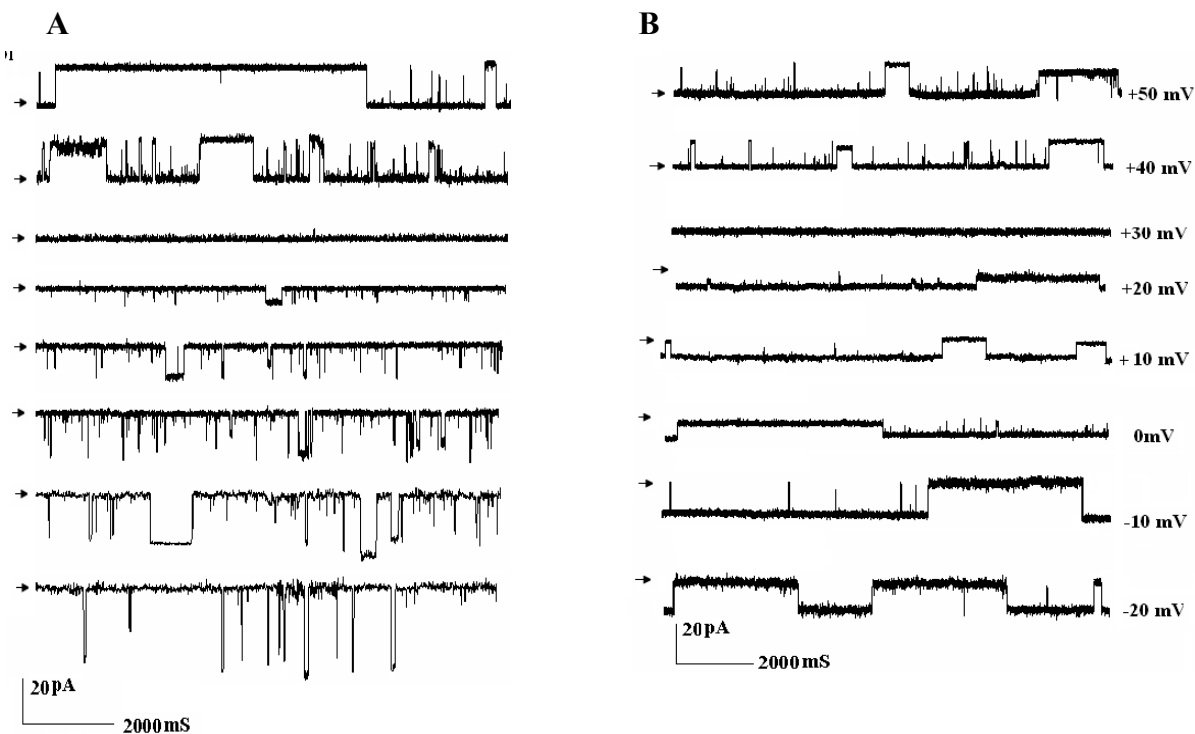
تشکیل BLM و الحاق وزیکول‌ها غشاء دولایه لیپیدی با استفاده از فسفاتیدیل کولین غلاظت 25mg/mL در n-Dkan و در دمای اتاق بر روی منفذ $250\mu\text{M}$ حدفاصل ناحیه سیس و ترانس محافظه BLM به روش painting تشکیل شد (۱۶). محافظه‌های سیس و ترانس به ترتیب حاوی 5 و 3 میلی‌لیتر کلرید‌پتاسیم غلاظت 200 و 50 میلی‌مولار بودند. pH محلول با Tris-HEPES در حد $7/4$ تنظیم شد. ظرفیت خاذنی غشاهای $400-200$ پیکوفاراد بود. الحاق وزیکول‌های ER در غشاء با استفاده از لمس ملایم غشاء با سوزن قطر 150 میکرومتر صورت گرفت. تشکیل و ضخامت غشاء به طور الکتریکی از طریق اسیلوسکوپ کنترل گردید.

برای ترسیم منحنی ولتاژ-احتمال باز بودن کanal، نقاط آن با استفاده از معادله زیر، ($Zd=3/47$) فیت گردید.

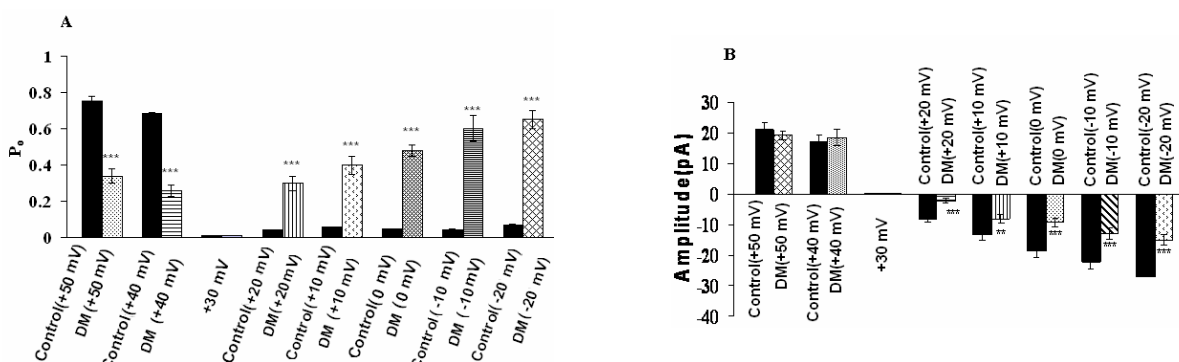
$$P_o = V_{\min} + \frac{V_{\max} - V_{\min}}{1 + e^{ZdF(V - V_{mid})RT}} \quad \text{Boltzman-Z delta}$$

ثبت فعالیت کanal و آنالیز آماری

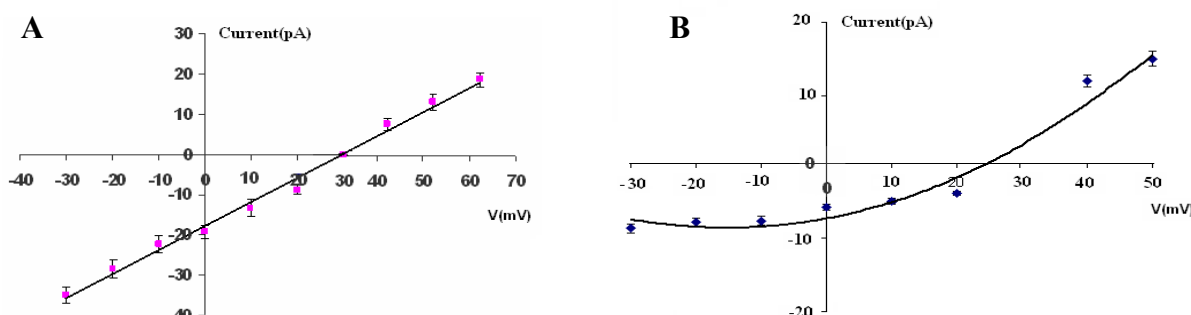
از آپلی فایر مدل BC-525A شرکت وارنر (ساخت امریکا) برای ثبت جریانات تک کanal استفاده شد. ولتاژ به محافظه ترانس اعمال و محافظه سیس به عنوان ناحیه مرجع در نظر گرفته شد. محافظه‌های سیس و ترانس با الکترودهای head Ag/AgCl و محلول آگار در کلرید‌پتاسیم 3 مولار به آپلی فایر منتقل شدند. سیگنال‌های خروجی از آپلی stage فایر با فیلتر پائین گذر 8-pole Bessel مرتب گردید. جریانات با دامنه نمونه گیری 10 KHZ دریافت و با کامپیوتر مجهز به Digidata 1200 AD/DA ذخیره شد. ثبت



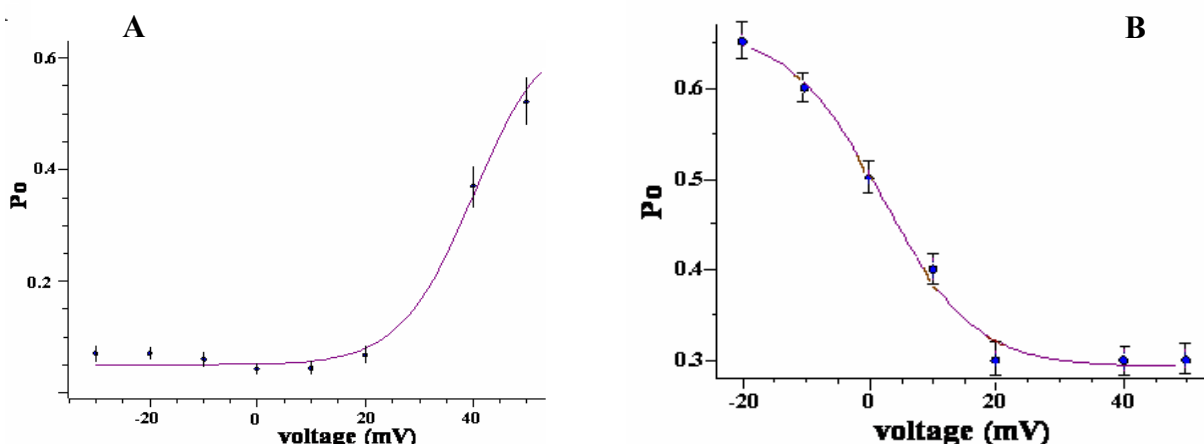
شکل ۱: ثبت از کانال کاتیونی شبکه آندوبلاسمی در ولتاژهای مختلف در گروه کنترل (1A) و گروه دیابتی شده با STZ (1B)، محیط حاوی KCl 200 mM cis/50 mM trans → وضعیت بسته کانال را نشان می‌دهد.



شکل ۲: مقایسه میانگین po (A) و دامنه جریان (B) کانال کاتیونی ER در موش‌های کنترل و موش‌های دیابتی شده با STZ



شکل ۳: منحنی جریان- ولتاژ کانال کاتیونی RER برای گروه کنترل (3A) و گروه دیابتی (3B) در محیط KCl 200 mM cis/ 50 mM trans نuant به صورت Mean±SD نمایش داده شدند (n=8).



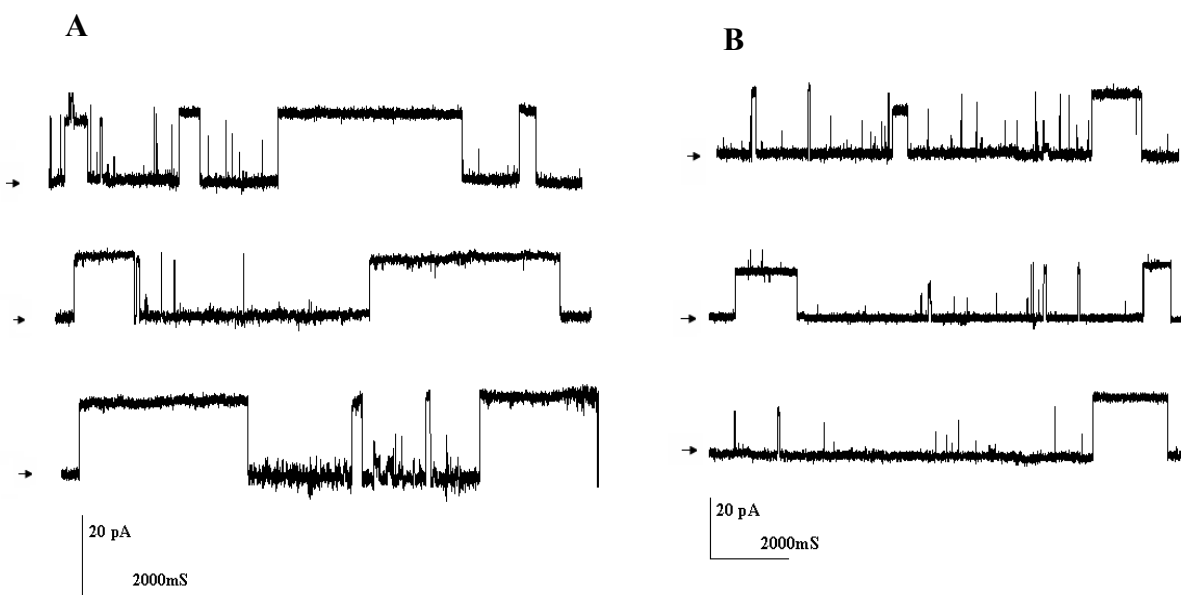
شکل ۴: منحنی رابطه احتمال باز بودن کانال با ولتاژ در گروه کنترل (A) و موش‌های دیابتی (B) در محیط حاوی KCl 200 mM cis/50 mM trans نفاط به صورت Mean \pm SD در n=7 نمایش داده شده است.

داد که در این ولتاژها متوسط احتمال بازبودن کانال توسط دیابت ملیتوس ناشی از STZ به طور معنی‌داری ($P<0.001$) افزایش یافت. علاوه بر این در ولتاژهای کمتر از پتانسیل معکوس دامنه جریان عبوری از کانال نیز در گروه موش‌های دیابتی نسبت به گروه کنترل تغییر شدید و معنی‌داری نشان داد ($P<0.001$). در گروه کنترل میانگین دامنه جریان کاتیونی کانال در ولتاژهای -20 ، -10 ، صفر، $+10$ و $+20$ میلی‌ولت به ترتیب $-28/14\pm 2/7$ ، $-22/3\pm 2/14$ ، $-18/4\pm 1/4$ ، $-13/27\pm 2/1$ و $-8\pm 1/5$ پیکوآمپر بود؛ ولی در گروهی دیابتی شده با STZ، متوسط امپلی تود جریان عبوری از کانال کاتیونی RER در ولتاژهای مذکور کاهش یافته و به ترتیب $-13/1\pm 0.8$ ، $-9\pm 1/2$ ، $-7/1\pm 1$ و $-2/3\pm 0.5$ رسید. نتایج آزمون t نشان داد که در کلیه موارد، مقادیر P_o دو گروه و نیز مقدار دامنه جریان در ولتاژهای کمتر از $+30$ میلی‌ولت در گروه دیابتی نسبت به گروه کنترل به صورت افزایش احتمال باز بودن کانال و کاهش دامنه جریان تغییر یافت ($P<0.001$).

منحنی رابطه جریان- ولتاژ فعالیت کانال را در ولتاژهای مختلف برای گروه کنترل و گروه دیابتی شده با استرپتوزوسین در شکل ۳ نشان داده شده است. منحنی جریان- ولتاژ کانال کاتیونی RER در گروه کنترل خطی است؛ ولی این منحنی در گروه دیابتی تغییر یافته و غیرخطی شده است. به عبارت دیگر منحنی جریان- ولتاژ کانال در گروهی که با STZ دیابتی شده بودند؛ نسبت به گروه کنترل

متوسط دیابت ناشی از STZ نسبت به گروه کنترل در ولتاژهای مختلف تغییر یافته است. میانگین دامنه جریان در ولتاژهای $+50$ و $+40$ میلی‌ولت در گروه کنترل به ترتیب $21\pm 2/5$ و $17\pm 2/14$ بود که در گروه دیابتی به ($n=5$) $19\pm 1/6$ و ($n=8$) $18/5\pm 2/5$ رسید. متوسط احتمال باز بودن کانال در ولتاژهای $+50$ و $+40$ میلی‌ولت از مقادیر $0/75\pm 0/03$ و $0/68\pm 0/01$ در گروه کنترل به ترتیب به ($n=5$) $0/3\pm 0/04$ و ($n=8$) $0/26\pm 0/03$ در گروه دیابتی رسید. نتایج آزمون t نشان داد که در ولتاژهای بالاتر از پتانسیل معکوس دامنه جریان عبوری از کانال تغییر آماری معنی‌داری پیدا نکرد؛ ولی متوسط احتمال باز بودن کانال به طور معنی‌داری کاهش یافت ($P<0.01$).

تغییرات شدیدتر فعالیت و کیتیک باز و بسته شدن کانال در ولتاژهای کمتر از پتانسیل معکوس دیده شد. کانال کاتیونی در ولتاژهای -20 ، -10 ، صفر، $+10$ و $+20$ میلی‌ولت در گروه کنترل احتمال باز بودن پائین دارد و میانگین احتمال بازبودن کانال در این ولتاژها کمتر از $1/10$ است؛ اما در گروه دیابتی احتمال بازبودن کانال در این ولتاژها افزایش قابل ملاحظه و معنی‌داری نشان داد ($P<0.001$) و همان‌طور که در شکل و نمودار مذکور دیده می‌شود؛ به طور متوسط مقدار P_o کانال در گروهی که با استرپتوزوسین دیابتی شده بودند در ولتاژهای -20 ، -10 ، صفر، $+10$ و $+20$ میلی‌ولت به ترتیب به $0/5\pm 0/08$ ($n=3$)، $0/8\pm 0/07$ ($n=3$)، $0/62\pm 0/03$ ($n=3$) و $0/5\pm 0/04$ ($n=4$) و $0/5\pm 0/05$ ($n=4$) رسید. نتایج آزمون آماری مقایسه مقادیر مربوطه در گروه کنترل و دیابتی نشان



شکل ۵: سه نمونه ثبت از کانال کاتیونی شبکه آندوپلاسمی در ولتاژ $+40\text{ mV}$ در گروه کنترل (A) و گروهی که با STZ دیابتی شدند (B). محیط حاوی $\text{KCl } 200\text{ mM cis}/50\text{ mM trans}$. → وضعیت بسته کانال را نشان می‌دهد.

که در کلیه ولتاژهای ثبت، دیابت حاصل از تزریق STZ سبب تغییر در رفتار کانال می‌گردد. در برخی ولتاژها که به طور طبیعی کانال دوره‌های باز بودن طولانی‌تری دارد؛ احتمال بازبودن کانال تحت تاثیر قرار گرفت و کاهش یافت؛ ولی متوسط دامنه جریان عبوری از کانال تغییر آماری معنی‌داری نشان نداد؛ اما در ولتاژهایی که به طور معمول کانال احتمال بازبودن کوتاه‌تری داشت؛ P_0 کانال افزایش آماری معنی‌داری نشان داد و متوسط دامنه جریان کانال نیز در این ولتاژها به طور معنی‌داری کاهش یافت. بنابراین نتایج نشان می‌دهند که استرپتوزوسمین تغییر می‌یابد. این مسئله حاکمی از آن است که دیابت در سطح مولکولی بر فعالیت کانال کاتیونی شبکه آندوپلاسمی تاثیر می‌گذارد. تغییر مذکور را ممکن است بتوان به تاثیر دیابت بر رفتار وابسته به ولتاژ پروتئین کانال نسبت داد و به نظر می‌رسد که مکانیسم و نحوه باز و بسته شدن وابسته به ولتاژ در اثر این نوع دیابت تغییر می‌یابد. به عبارت دیگر ممکن است دیابت ملیتوس مزدوج شدن مولکولی میان حسگر ولتاژ و ناحیه تنظیم باز و بسته شدن کانال و یا اسیدهای آمینه موجود در دیواره لومن کانال را تغییر دهد. به این صورت که در ولتاژهای مثبت که کانال از P_0 بالایی برخوردار است؛ تعادل باز-بسته کانال به سمت حالت بسته و

در شکل ۴ منحنی رابطه احتمال باز بودن کانال به عنوان تابعی از ولتاژ دیده می‌شود و کانال کاتیونی غشاء شبکه آندوپلاسمی در گروه دیابتی، فعالیت وابسته به ولتاژ را نشان می‌دهد. به این ترتیب که در ولتاژهای کمتر از پتانسیل معکوس ($+20\text{ mV}$ -تا -20 mV) احتمال بازبودن کانال به ترتیب به طور قابل توجه افزایش نشان داد. در ولتاژ -20 mV -ولت مقدار P_0 کانال کاتیونی شبکه آندوپلاسمی به $8\pm 0.7\%$ رسید. ولی در ولتاژهای $+40\text{ mV}$ و $+50\text{ mV}$ -ولت احتمال باز بودن کانال در مقایسه با گروه کنترل پائین بود. منحنی ولتاژ-احتمال باز بودن کانال در شکل ۴ نشان داده شده است. در شکل ۵ نمونه‌هایی از منحنی‌های ثبت فعالیت کانال کاتیونی شبکه آندوپلاسمی در گروه کنترل و گروهی که با تزریق STZ (B) دیابتی شدند؛ در ولتاژ $+40\text{ mV}$ -ولت نشان داده شده است. در حالی که دامنه جریانات دو گروه تفاوت آماری معنی‌داری را نشان نداد. احتمال باز بودن کانال در گروه دیابتی نسبت به گروه کنترل کاهش یافت ($P < 0.01$).

بحث

در این مطالعه آنالیز ثبت فعالیت کانال کاتیونی شبکه آندوپلاستیک هپاتوسیت‌ها در گروه کنترل و دیابتی نشان داد

محصولات متابولیسم غیرطبیعی تغییرات اکسیداتیو پروتئین‌های است که به تغییرات عمل پروتئین‌ها از جمله کانال‌های یونی و در نتیجه به تغییر عملکرد سلولی منجر خواهد شد (۲۴). رابطه دیابت و کانال‌های یونی می‌تواند دو طرفه باشد. بدین معنی که علاوه بر این که ایجاد دیابت می‌تواند ثانویه به اختلال کانال‌های یونی باشد؛ تغییرات متابولیسمی ناشی از دیابت نیز می‌توانند موجب تغییر فعالیت کانال‌های یونی گردند. Jovanovic و همکار نشان دادند که قندخون بالا جریان یونی کانال K_{ATP} غشاء پلاسمایی سلول‌های عضلانی را به طور قابل توجهی افزایش می‌دهد (۱۱). از آنجایی که برخی از کانال‌های پتانسیمی به صورت واپسی به شرایط ردوکس سلولی تنظیم می‌شوند (۲۴ و ۲۵)؛ لذا در این مطالعه تغییرات به دست آمده در فعالیت کانال پتانسیمی غشاء شبکه آندوپلاسمی موش‌هایی که با STZ دیابتی شده‌اند؛ می‌تواند با این اثرات دیابت مرتبط باشد.

نتیجه‌گیری

به طور کلی ممکن است دیابت ملیتوس ناشی از STZ از طریق ایجاد تغییر در عمل پروتئین کانال و یا مختلط ساختن متابولیسم طبیعی سلول‌ها و ایجاد متابولیت‌ها و رادیکال‌های آزاد سبب نقص در تنظیم فعالیت و در نتیجه تغییر مشخصات و رفتار باز و بسته شدن کانال پتانسیمی ER گردد و احتمالاً کانال مزبور در کنترل متابولیسم سلول و پیام‌رسانی‌های داخل سلولی درگیر می‌باشد.

تشکر و قدردانی

این مقاله حاصل طرح مصوب (شماره ۴۹/ع/الف) مرکز تحقیقات علوم اعصاب دانشگاه علوم پزشکی شهید بهشتی بود. بدین وسیله به خاطر حمایت مالی از آن مرکز سپاس خود را اعلام می‌نماییم.

References

1. Guterman D, Miura H, Liu Y. Redox modulation of vascular tone. *Arterioscler Thromb Vasc Biol*. 2005 Apr;25(4):671-85.
2. Kulawiak B, Kudin AP, Szewczyk A, Kunz WS. BK channel openers inhibit ROS production of isolated rat brain mitochondria. *Exp Neurol*. 2008 Aug;212(2):543-7.
3. Ashcroft FM. ATP-sensitive potassium channelopathies: focus on insulin secretion. *J Clin Invest*. 2005 Aug;115(8):2047-58.
4. Kass RS. The channelopathies: novel insights into molecular

در نتیجه کاهش Po سوق یابد و در ولتاژهای کمتر از پتانسیل معکوس، حالت باز غالب شده و با ایجاد دوره‌های بازیودن طولانی مقدار po افزایش یابد.

در مطالعه Proenza و Yellen روی کانال‌های یونی سلول‌های پیس‌میکری قلب، اختلال کانال یونی توانست سبب رفتار باز و بسته شدن غیرمعمول آن گردد (۲۱). در مطالعه Rattner و Shimoni روی فعالیت کانال پتانسیمی در دیابت حاصل از تزریق استریپوزوین، جریان یونی کانال پتانسیمی وابسته به کلسیم در میوسمیت‌های قلبی توسط دیابت ناشی از STZ نسبت به گروه کنترل به طور معنی داری کاهش یافت (۲۲). این یافته‌ها با نتایج ما مبنی بر کاهش دامنه جریان عبوری از کانال پتانسیمی ER در ولتاژهای کمتر از پتانسیل معکوس مطابقت دارند.

از دیدگاه دیگر، تغییرات فعالیت کانال کاتیونی مورد مطالعه در دیابت ملیتوس ممکن است؛ به اثر محصولات زائد متابولیسم غیرطبیعی ناشی از دیابت مربوط باشند. در این رابطه Guterman و همکاران گزارش کردند که استرس اکسیداتیو ناشی از دیابت سبب کاهش عملکرد کانال K_{ATP} می‌گردد (۱). استرس اکسیداتیو و در نتیجه تغییر شرایط ردوکس سلول سبب ایجاد تغییرات پاتولوژیک فعالیت کانال‌ها می‌شود (۲۳). اختلال متابولیسم گلوکز علت کلیدی تغییرات فعالیت کانال‌های پتانسیمی میوسمیت‌های قلبی موش‌های دیابتی شده با STZ محسوب می‌شود (۲۴ و ۲۵). هیپرگلیسمی و نقص متابولیسم گلوکز ناشی از دیابت، محیط اکسیدشده‌تری در داخل سلول پدید آورده و موجب آسیب پروتئین‌های سلولی در طیفی از سلول‌ها گشته و از این طریق عمل کانال‌های پتانسیمی را تحت تاثیر قرار می‌دهند (۲۶ و ۲۷). در دیابت ملیتوس پیامد اصلی و عمده تولید رادیکال‌های آزاد و

and genetic mechanisms of human disease. *J Clin Invest*. 2005 Aug;115(8):1986-9.

5. Mueller P, Rudin DO, Tien HT, Westcott WC. Reconstitution of cell membrane structure in vitro and its transformation into an excitable system. *Nature*. 1962 Jun; 194:979-80.

6. Nardai G, Korcsmáros T, Papp E, Csermely P. Reduction of the endoplasmic reticulum accompanies the oxidative damage of diabetes mellitus. *Biofactors*. 2003;17(1-4):259-67.

7. Schwanstecher C, Schwanstecher M. Nucleotide sensitivity of

- pancreatic ATP-sensitive potassium channels and type 2 diabetes. *Diabetes.* 2002 Dec;51 Suppl 3:S358-62.
8. Ito I, Hayashi Y, Kawai Y, Iwasaki M, Takada K, Kamibayashi T, Yamatodani A, Mashimo T. Diabetes mellitus reduces the antiarrhythmic effect of ion channel blockers. *Anesth Analg.* 2006 Sep;103(3):545-50.
9. Mokelke EA, Hu Q, Song M, Toro L, Reddy HK, Sturek M. Altered functional coupling of coronary K⁺ channels in diabetic dyslipidemic pigs is prevented by exercise. *J Appl Physiol.* 2003 Sep;95(3):1179-93.
10. Aguilar-Bryan L, Bryan J. Molecular biology of adenosine triphosphate-sensitive potassium channels. *Endocr Rev.* 1999 Apr;20(2):101-35.
11. Jovanović S, Jovanović A. High glucose regulates the activity of cardiac sarcolemmal ATP-sensitive K⁺ channels via 1,3-bisphosphoglycerate: a novel link between cardiac membrane excitability and glucose metabolism. *Diabetes.* 2005 Feb;54(2):383-93.
12. Araki E, Oyadomari S, Mori M. Impact of endoplasmic reticulum stress pathway on pancreatic beta-cells and diabetes mellitus. *Exp Biol Med (Maywood).* 2003 Nov;228(10):1213-7.
13. Eizirik DL, Cardozo AK, Cnop M. The role for endoplasmic reticulum stress in diabetes mellitus. *Endocr Rev.* 2008 Feb;29(1):42-61.
14. Shoshan-Barmatz V, Israelson A. The voltage-dependent anion channel in endoplasmic/sarcoplasmic reticulum: characterization, modulation and possible function. *J Membr Biol.* 2005 Mar;204(2):57-66.
15. Osman AA, Saito M, Makepeace C, Permutt MA, Schlesinger P, Mueckler M. Wolframin expression induces novel ion channel activity in endoplasmic reticulum membranes and increases intracellular calcium. *J Biol Chem.* 2003 Dec;278(52):52755-62.
16. Ashrafpour M, Eliassi A, Sauve R, Sepehri H, Saghir R. ATP regulation of a large conductance voltage-gated cation channel in rough endoplasmic reticulum of rat hepatocytes. *Arch Biochem Biophys.* 2008 Mar 1;471(1):50-6.
17. Sepehri H, Eliassi A, Sauvé R, Ashrafpour M, Saghir R. Evidence for a large conductance voltage gated cationic channel in rough endoplasmic reticulum of rat hepatocytes. *Arch Biochem Biophys.* 2007 Jan 1;457(1):35-40.
18. Bouchard JF, Dumont EC, Lamontagne D. Modification of vasodilator response in streptozotocin-induced diabetic rat. *Can J Physiol Pharmacol.* 1999 Dec;77(12):980-5.
19. Singleton W.S, Gray M.S. Chromatographically homogeneous lecithin from egg phospholipids. *J Am Oil Chem Soc.* 1965 Jan;42:53-6.
20. Kan FW, Jolicoeur M, Paiement J. Freeze-fracture analysis of the effects of intermediates of the phosphatidylinositol cycle on fusion of rough endoplasmic reticulum membranes. *Biochim Biophys Acta.* 1992 Jun 30;1107(2):331-41.
21. Proenza C, Yellen G. Distinct populations of HCN pacemaker channels produce voltage-dependent and voltage-independent currents. *J Gen Physiol.* 2006 Feb;127(2):183-90.
22. Shimoni Y, Rattner JB. Type 1 diabetes leads to cytoskeleton changes that are reflected in insulin action on rat cardiac K(+) currents. *Am J Physiol Endocrinol Metab.* 2001 Sep;281(3):E575-85.
23. Miedema H. Surface potentials and the calculated selectivity of ion channels. *Biophys J.* 2002 Jan; 82(1 Pt 1):156-9.
24. Li X, Xu Z, Li S, Rozanski GJ. Redox regulation of Ito remodeling in diabetic rat heart. *Am J Physiol Heart Circ Physiol.* 2005 Mar;288(3):H1417-24.
25. Rozanski GJ, Xu Z. A metabolic mechanism for cardiac K⁺ channel remodelling. *Clin Exp Pharmacol Physiol.* 2002 Jan-Feb; 29(1-2):132-7.
26. Bidasee KR, Nallani K, Besch HR Jr, Dincer UD. Streptozotocin-induced diabetes increases disulfide bond formation on cardiac ryanodine receptor (RyR2). *J Pharmacol Exp Ther.* 2003 Jun;305(3):989-98.
27. de Cavanagh EM, Inserra F, Toblli J, Stella I, Fraga CG, Ferder L. Enalapril attenuates oxidative stress in diabetic rats. *Hypertension.* 2001 Nov;38(5):1130-6.